

# 中子能量在 0.02—0.5 电子伏范围内 U<sup>235</sup> 裂变次级有效中子数平均值 随入射中子能量的相对变化

牛世文 欧阳雋 卢涵林

利用慢中子机械选择器中子谱仪于入射中子能量在 0.02—0.5 电子伏区域内，采用直接测量方法测量了 U<sup>235</sup> 的  $\eta(E)$  相对值。在测量误差范围内，中子能量在 0.02—0.08 电子伏区域  $\eta$  值为一常数，此后随中子能量增高而下降，至接近 0.3 电子伏时  $\eta$  值约下降了 13%。

## 引言

次级有效中子平均数  $\eta$ （裂变核吸收一个中子所放出的裂变中子平均数）随入射中子能量的变化关系，对反应堆计算和建立核裂变理论有很大意义。目前已经发表了不少测量结果。测量  $\eta(E)$  的方法基本上可分为两种。一种是分别测量吸收截面  $\sigma_a$ ，裂变截面  $\sigma_f$  及裂变核每次裂变所放出的裂变中子平均数  $v$  值，并用下列关系来确定  $\eta$ ：

$$\eta = v \frac{\sigma_f}{\sigma_a},$$

这样得到的  $\eta$  值包括着三个数值的误差。由于在低能区域  $v$  值不随能量变化， $\frac{\sigma_f}{\sigma_a}$  随能量变化又极小，所以这种方法对  $\sigma_a$  及  $\sigma_f$  的精确度要求很高。尤其在共振峰处，还要求以同样的实验条件和很好的分辨率测量  $\sigma_a$  和  $\sigma_f$ 。这些都给实验带来了困难，所以各国的实验室都趋于抛弃这种方法而用直接测量方法。

直接测量方法在文献 [1,2] 中有较详细的叙述。这是一种比较简单而又精确的方法。与上述方法相比，它具有下列优点：(1)由于  $\eta(E)$  随能量变化不大，所以对谱仪分辨率的要求不高；(2)因为实验中采用厚样品，所以能得到比较高的计数率；(3)利用裂变中子来探测裂变效应，避免了通常用裂变室测量裂变截面时的  $\alpha$  粒子堆垒问题；(4)在同一装置上不必作其它更动只需要换样品就可以测量不同样品的  $\eta(E)$  等等。

帕莱夫斯基 (H. Palevsky)<sup>[1]</sup> [其中包括列欧涅德 (Leonard) 的工作] 测量的结果和斯密思 (J. R. Smith)<sup>[3,4]</sup> 的结果表明：中子能量从 0.01 电子伏至 0.1 电子伏时  $\eta$  值增加约 2%；能量大于 0.1 电子伏时  $\eta$  值下降；在接近 0.3 电子伏处  $\eta$  值比 0.0253 电子伏的  $\eta$  值约降低了 6%；此后  $\eta$  值又增高；并且与按截面计算的结果在测量误差范围内相符合。尼基京 (С. Я. Никитин)<sup>[2]</sup> 等的结果与上述结果有差异，自 0.01 电子伏至 0.1 电子伏  $\eta$  值降低了 10%，0.1 电子伏以上仍然继续下降。斯卡斯格德 (H. M. Skarsgard)<sup>[5]</sup> 测量了 0.006—0.05 电子伏区域的  $\eta(E)$ ，在误差范围内  $\eta$  值为一常数，与文献 [1] 的结果在误差范围内相符合。包林格 (Bollinger)<sup>[6,7]</sup> 按测量截面求得的  $\eta$  值，在 0.05—0.1 电子伏区域比文献 [1] 的结果低的多，在 0.04 电子伏以下符合得也不太好。

## 測量方法及實驗設備

我們採用的是直接測量方法。選用厚裂變樣品，使它對於入射中子來說可看成“黑體”( $n\sigma \gg 1$ )。在完全相同的實驗條件下，同時測量以下兩個數值：(1)裂變中子數隨入射中子能量的變化；(2)入射中子數隨能量的變化。

設  $K_f$  和  $C_f$  分別為裂變中子探測器的總效率及計數， $K_B$  和  $C_B$  分別為入射中子探測器的總效率及計數。假定樣品的散射截面  $\sigma_s \ll \sigma_a$ ，亦即可以忽略散射效應的話，則

$$\frac{C_f}{K_f} = \nu \frac{\sigma_f}{\sigma_a} \frac{C_B}{K_B} = \eta \frac{C_B}{K_B}.$$

入射中子探測器一般用含硼計數器，因而  $K_B$  正比於  $\frac{1}{\sqrt{E_i}}$ 。又由於  $K_f$  在測量條件下可視為常數，所以上式可以簡化為

$$\eta = -\frac{K}{\sqrt{E_i}} \frac{C_f}{C_B},$$

式中  $E_i$  為入射中子能量。 $K$  是一常數，在相對測量中不要求確定  $K$  值，一般都是將所測的  $\eta(E)$  在 0.0253 電子伏處歸一化。

在慢中子機械選擇器<sup>[8]</sup>上測量  $U^{235}$  的  $\eta(E)$ ，實驗布置示意圖見圖 1。

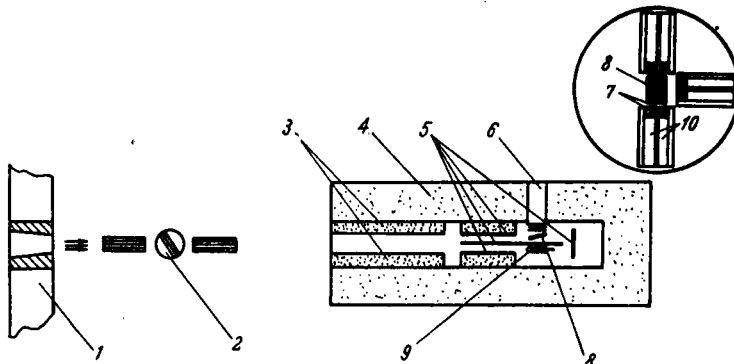


圖 1 實驗布置示意圖

1——反應堆；2——轉子；3——碳化硼；4——石蠟和硼酸；5——鈹片；6——裂變中子探測器；7——ZnS(Ag) + 石蠟；8——樣品；9——入射中子探測器；10——ΦΘΥ-19。

中子飛行距離 3.5 米，分辨率 15 微秒/米。同時測量  $C_f$ 、 $C_B$  和本底。將 256 道時間分析器分為兩架 128 道分析器使用，道寬 32 微秒。同時測量  $C_f$  及  $C_B$  兩個數值即能保證相同的實驗條件又能減少測量時間。為了消除兩架時間分析器的系統誤差，在測量過程中兩架分析器交替地測量  $C_f$  和  $C_B$ 。經常同時測量裂變中子探測器和入射中子探測器的總計數，從兩者的比值變化來監視探測器的工作情況。實驗表明，探測器是長期穩定和可靠的。

樣品是含有 90%  $U^{235}$  的金屬鈾片，在入射中子方向上的厚度  $\sim 10$  克/厘米<sup>2</sup>。樣品周圍安放着裂變中子探測器，用的是晶體閃爍計數器，閃爍體是  $ZnS(Ag) +$  石蠟。在束線上與樣品平行地放置着入射中子探測器。為使其探測效率與  $\frac{1}{\sqrt{E_i}}$  成正比，採用了“薄”探測器。它是

一支玻璃壁的  $BF_3$  正比計數管，充氣氣壓 100 毫米汞柱。

裂變中子探測器對中子的探測效率應尽可能高，對  $\gamma$  射線的計數應小於總計數的 1%。為

为了达到这样的要求，曾进行了以下的调整：将裂变样品换为“黑体”镅样品；选择探测器的高压，放大器放大倍数和甄别器的阈值，使其计数只有用裂变样品时的 0.1%。由于镅的( $n, \gamma$ )反应放出的  $\gamma$  射线谱与  $U^{235}$  裂变瞬时放出的  $\gamma$  射线相似，而其数量则较  $U^{235}$  裂变时放出的  $\gamma$  射线少 6—7 倍<sup>[9]</sup>，因而这样选定的工作点可以保证在测量裂变中子时  $\gamma$  本底小于 1%。

## 数 据 处 理

对实验测量值进行了以下各项修正。

1. 由于样品不是绝对“黑体”，所以需要根据在测量  $\eta(E)$  的实验条件下测得的样品穿透率对透过样品的部分中子进行修正。测量结果表明，能量大于 0.3 电子伏就需要修正，最大修正值小于 1.2%。

2. 其它同位素成分引起的修正。 $U^{238}$  散射截面所引起的修正与  $U^{235}$  散射截面所引起的修正合在一起考虑。样品中的杂质、 $U^{234}$  及  $U^{238}$  吸收截面的修正皆小于 0.3%，故忽略掉了。

3. 由于散射所引起入射中子损失的修正。实际上散射截面不能忽略，并且散射截面随能量而变化，所以必须修正。在厚样品情况中，由于散射中子有再被吸收的可能，散射截面的有效值仅是实际散射截面的一部分，并且是样品厚度的函数<sup>[1,10]</sup>。以  $\bar{K}\sigma_s$  表示有效散射截面，在“黑体”时  $\bar{K}$  值接近于 0.154。根据文献[10]提出的公式计算出  $\bar{K}(n\sigma_s)$  函数。从测量的穿透率计算出  $n\sigma_s$  后，再根据这个函数决定  $\bar{K}$  值。在  $\sigma_s$  的计算中考虑到各种同位素的效应，其中  $U^{235}$  的散射截面采用文献[3]所提出的数据， $U^{238}$  的散射截面采用 8.3 靶。修正值皆小于 2%。

4. 入射中子探测器效率偏离  $\frac{1}{\sqrt{E_i}}$  规律的修正。随着中子能量降低，探测器自吸收增大，其效率逐渐偏离  $\frac{1}{\sqrt{E_i}}$  规律。这项修正值小于 1.5%。

5. 入射中子探测器不灵敏区所引起的修正。中子计数管轴线与中子束平行，中子束在达到计数管灵敏区之前先通过一段不灵敏区，部分中子在这一区域可能被吸收。这项修正值小于 1.5%。

6. 入射中子探测器玻璃壁引起入射中子损失的修正。在测量  $\eta(E)$  的条件下，测量了玻璃壁的穿透率，按此值进行修正。修正值达 20—25%。

在测量值误差中，计数的统计误差最大，主要是由裂变中子计数统计误差所造成的。在修正因子中，探测器玻璃壁所引起的修正项带来较大的误差。最后结果的误差介于 1.2—5.5% 之间。

## 测 量 结 果

测量结果如图 2 所示。图中的数据已接在 0.0253 电子伏处取  $\eta$  为 2.07<sup>[7]</sup> 归一化。在 0.02—0.08 电子伏能量区域内，在测量误差范围内  $\eta$  为一常数；此后随能量增高而下降，接近 0.3 电子伏处  $\eta$  值最小，较 0.0253 电子伏  $\eta$  值约下降了 13%。在 0.02—0.08 电子伏区域，我们所测结果与帕莱夫斯基及斯卡斯格德<sup>[5]</sup>的结果在测量误差内相符合。在 0.08—0.5 电子伏区域符合得不太好，我们所得结果有较大的下降。这是由于测量时谱仪分辨率较低，按  $\eta = \frac{K}{\sqrt{E_i}} \frac{C_t}{C_b}$  公式计算时所用的  $\sqrt{E_i}$  较实际值大，以至使  $\eta$  值变小所致。

本工作在进行中经常得到何泽慧先生的热情关怀和指导，杨楨与施学勤同志提供了不少宝贵意见，孟昭芹、申文亮及罗靖安同志参加了测量及一些计算工作，反应堆运行人员给了大力协助，在此我们表示极大的谢意。

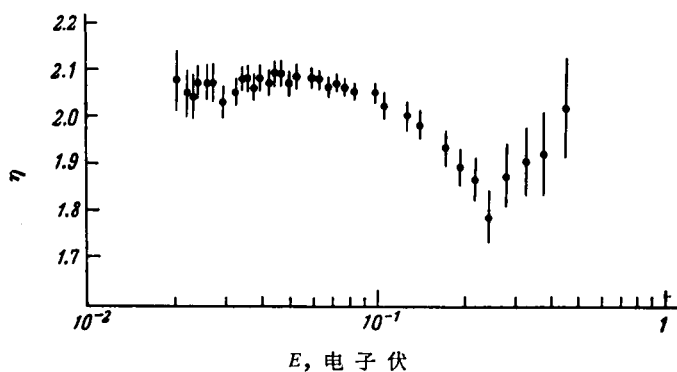


图 2  $\eta$  值随入射中子能量  $E$  变化曲线  
已按 0.0253 电子伏处取  $\eta$  值为 2.07 进行了归一化

### 参 考 文 献

- [1] H. Palevsky, D. J. Hughes, R. I. Zimmerman and R. M. Eisberg, *J. Nuclear Energy*, **3**, 117 (1956).
- [2] С. Я. Никитин, С. М. Сухоручкин, К. Г. Игнатьев, Н. Д. Галанина, Сесия АН ССР, По мирному использованию атомной энергии, 1—5 Июля, 1955 г., Отд. физ.-мат. наук, Изд. АН ССР, 1955.
- [3] J. A. Harvey and J. E. Sanders, *Progress in Nuclear Energy*, Vol. 1, *Summary of Data on the Cross Section and Neutron Yields of  $U^{233}$ ,  $U^{235}$ ,  $Pu^{239}$* , Pergamon-Press Ltd, London, 1956.
- [4] J. R. Smith and E. H. Magleby, *Bull. Am. Phys. Soc.*, **30**, 7 (1955).
- [5] H. M. Skarsgard and C. J. Kenward, *J. Nuclear Energy*, **6**, 212 (1958).
- [6] Reactor Physics Constants, P. 55, ANL-5800.
- [7] G. J. Safford and W. W. Havens, Jr., *Nucleonics*, **17**, 134 (1959).
- [8] 叶春堂、牛世文、王大海, 原子能科学技术, 第 3 期, 141 (1961).
- [9] И. В. Городеев, Д. А. Кардашев, А. В. Малышев, Справочник по ядерно-физическим константам для расчетов реакторов, стр. 224, Атомизд, Москва, 1960.
- [10] F. J. M. Farley, *J. Nuclear Energy*, **3**, 33 (1956).

(编辑部收稿日期 1964 年 4 月 30 日)